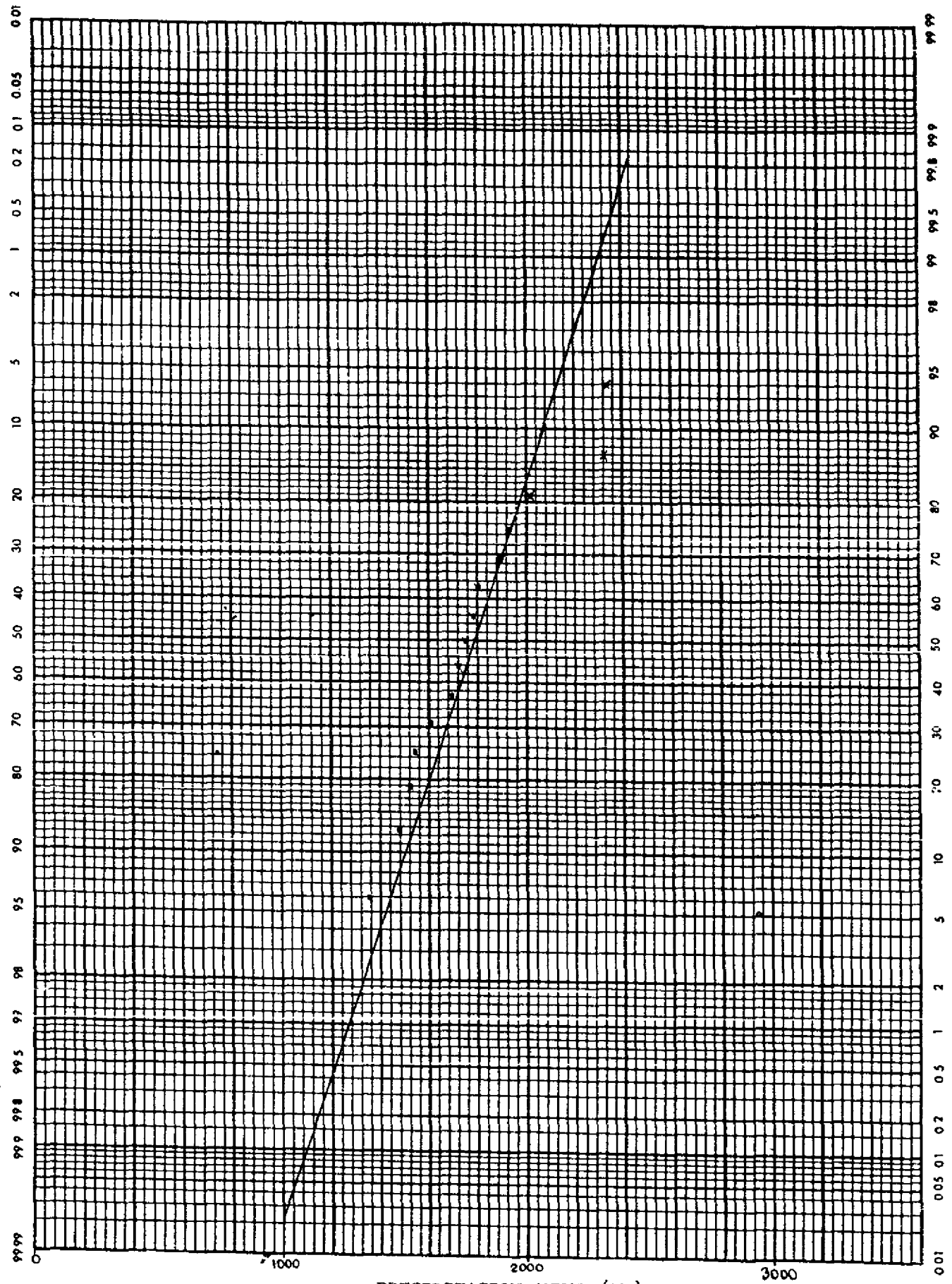


PROBABILIDAD DE VALORES SUPERIORES AL VALOR DE LA ABCISA (PORCENTAJE)



PROBABILIDAD DE VALORES INFERIORES AL VALOR DE LA ABCISA (PORCENTAJE)

FIG. No. 8. Probabilidad de precipitación anual de la Estación Filadelfia
Lat. 10° 26' N. Long. 85° 35' N. Alt. 17 m.

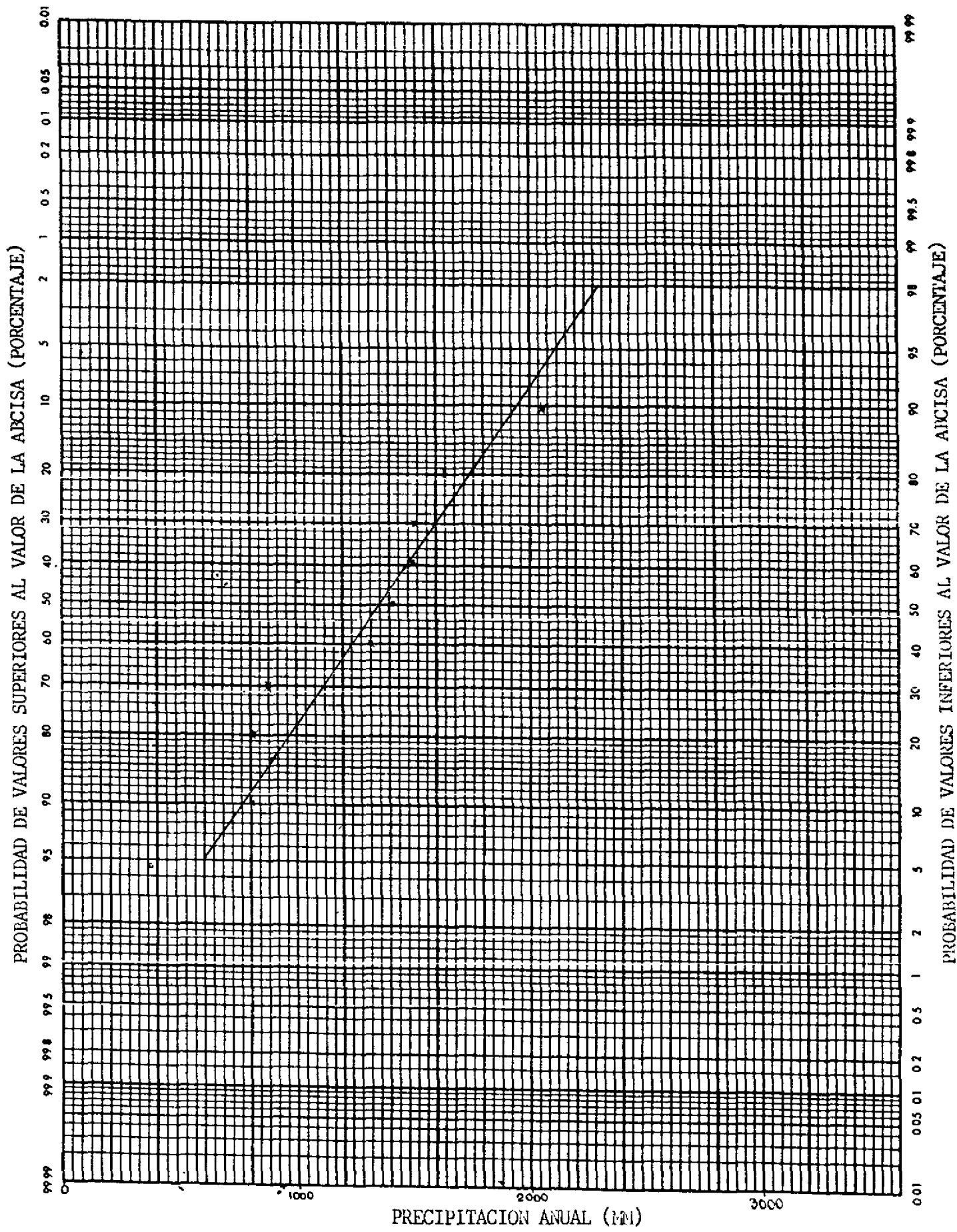


FIG. No. 9. Probabilidad de precipitación anual de la Estación Bagaces
 Lat. 10° 32' N. Long. 85° 18'W. Alt. 90 m.

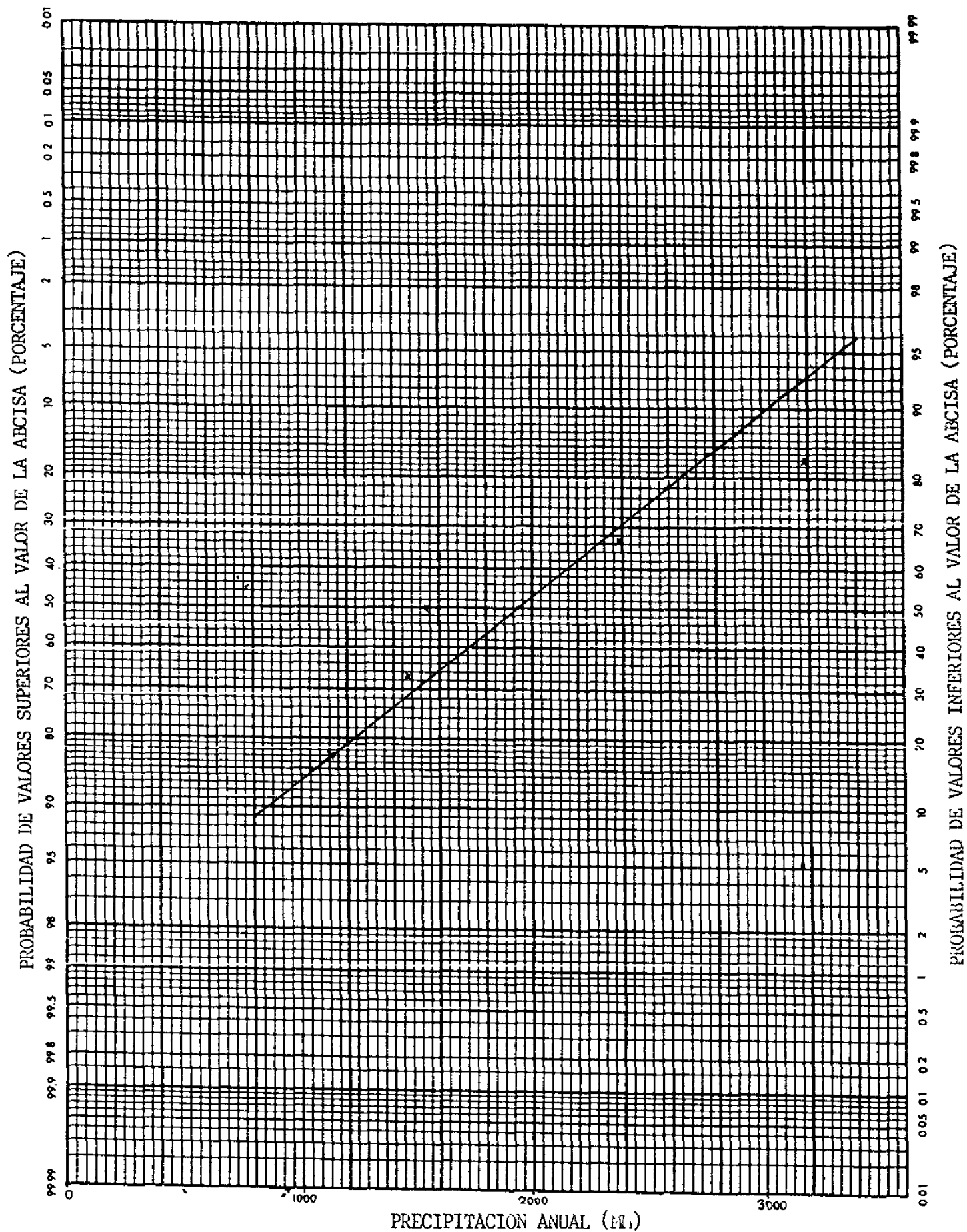
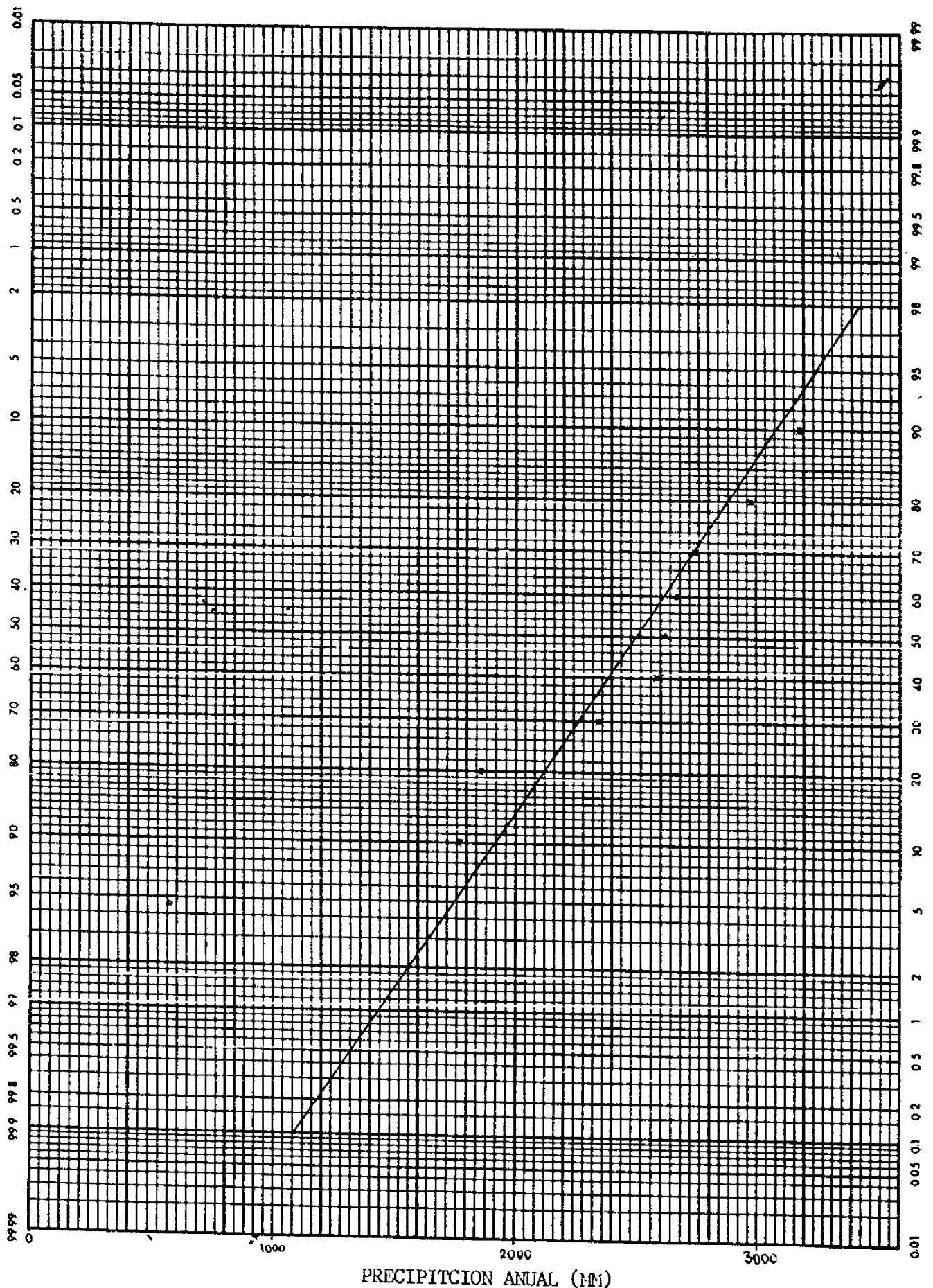


FIG. No. 10. Probabilidad de precipitación anual de la Estación Playa Panamá
 Lat. 10°35'N. Long. 85°4'W. Alt. 3 m.

PROBABILIDAD DE VALORES SUPERIORES AL VALOR DE LA ABCISA (PORCENTAJE)



PROBABILIDAD DE VALORES INFERIORES AL VALOR DE LA ABCISA (PORCENTAJE)

FIG. No. 11. Probabilidad de precipitación anual de la Estación Puerto Humo
 Lat. 10°19'N. Long. 85°21'W. Alt. 10 m.

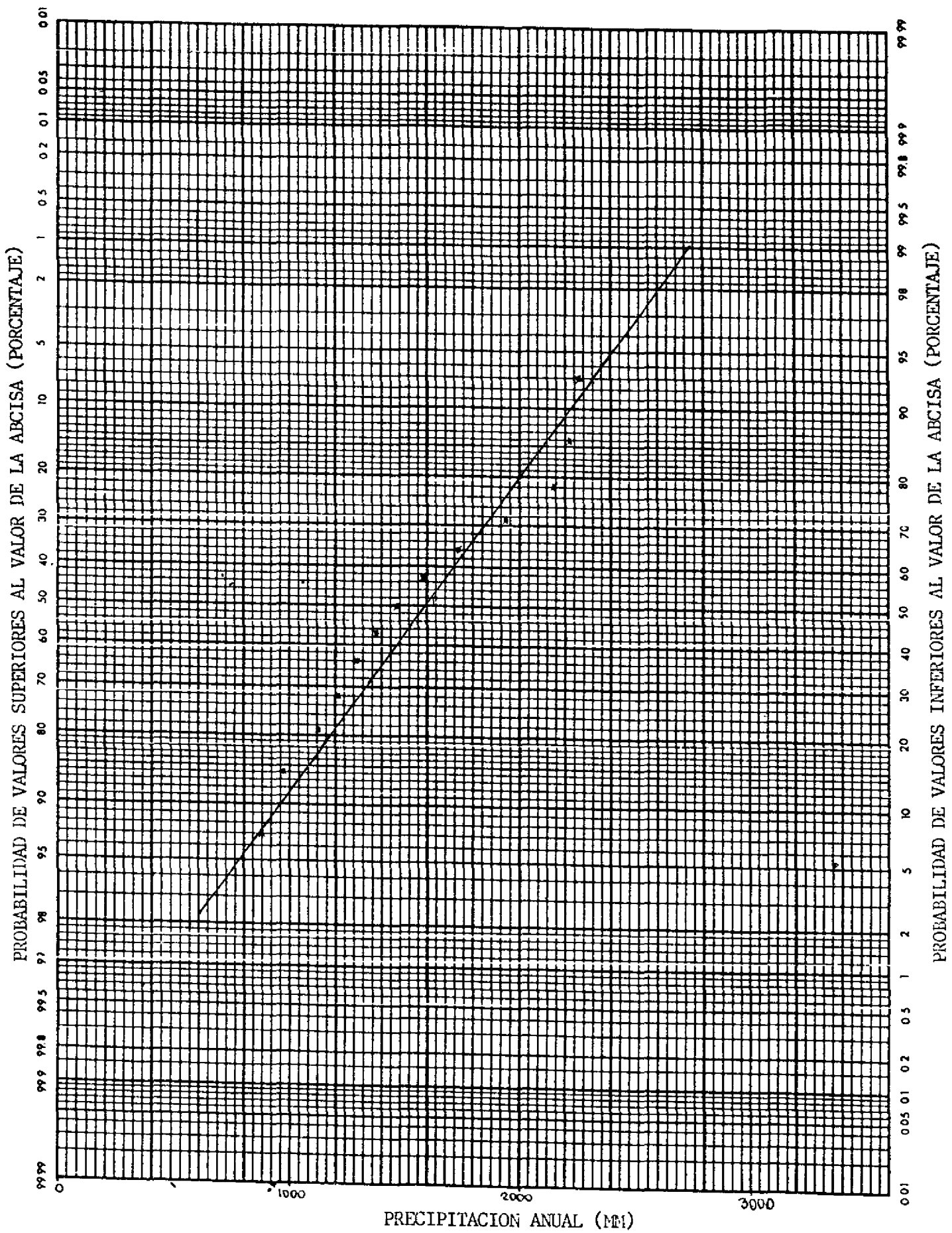


FIG. No. 12. Probabilidad de precipitación anual de la Estación Hacienda el Real. Lat. 10°33'N. Long. 85° 32' W. Alt. 130.m.

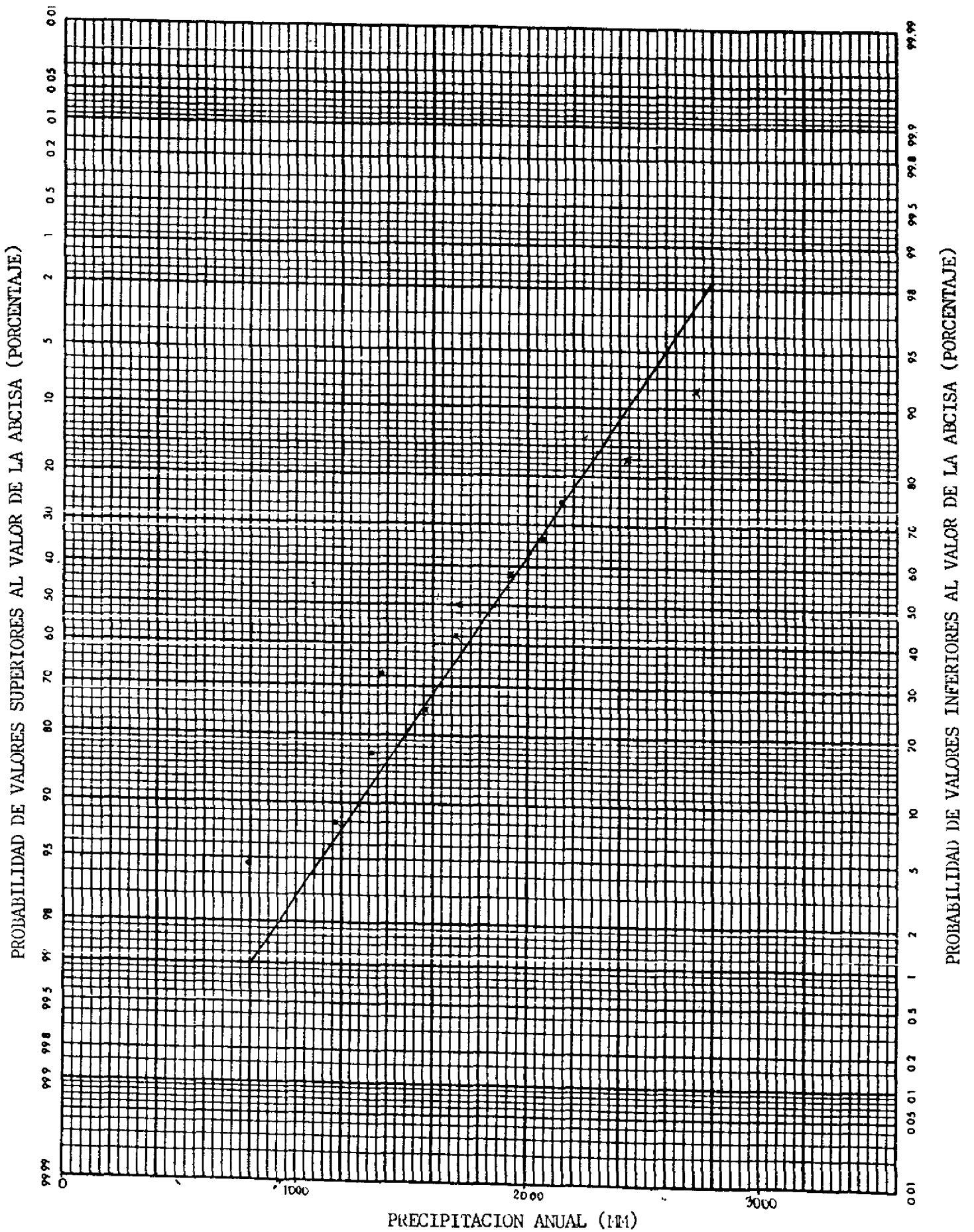


FIG. No. 13. Probabilidad de precipitación anual de la Estación Sardinal.
 Lat. 10°31'N. Long. 85° 39'W. Alt. 460 m.

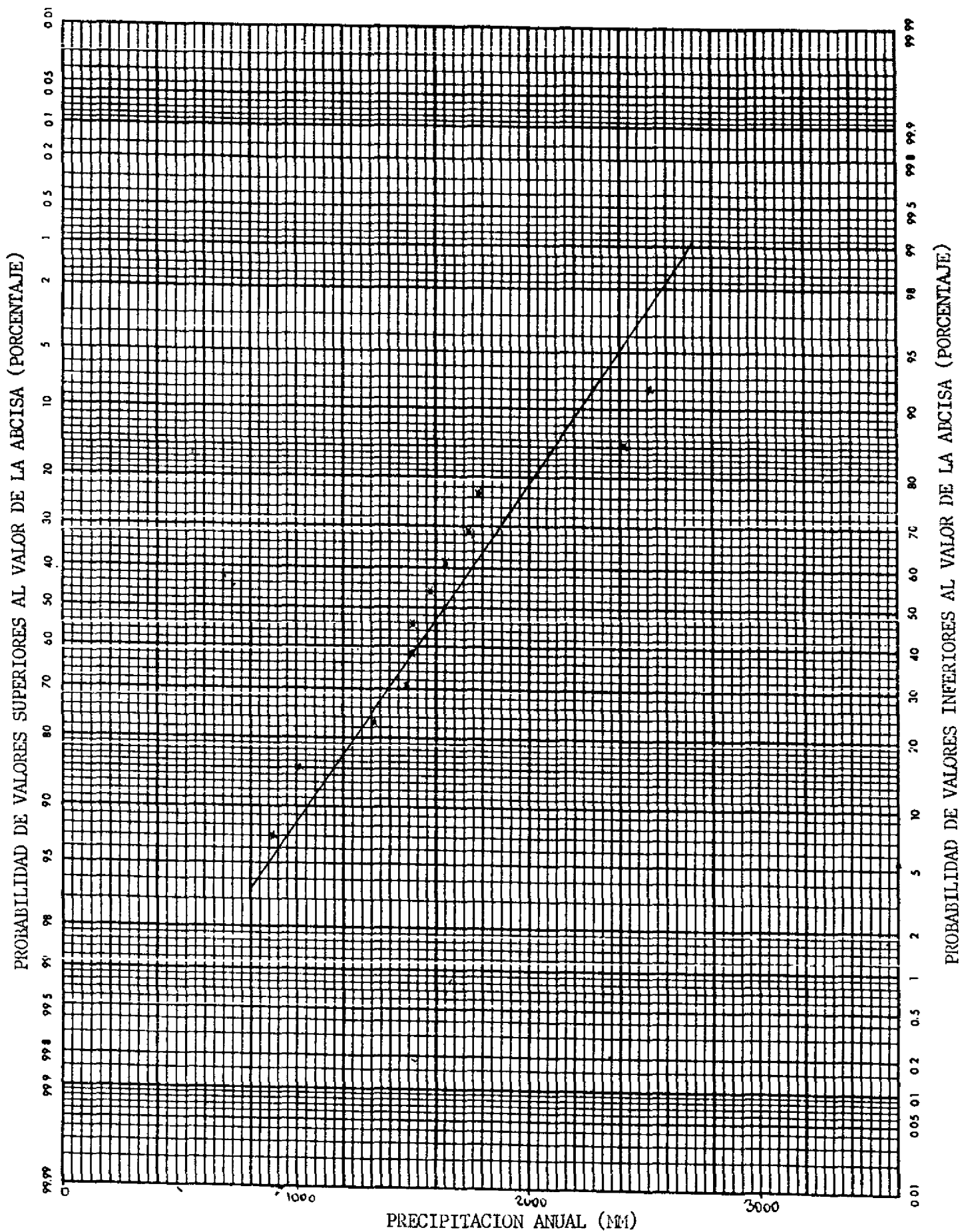
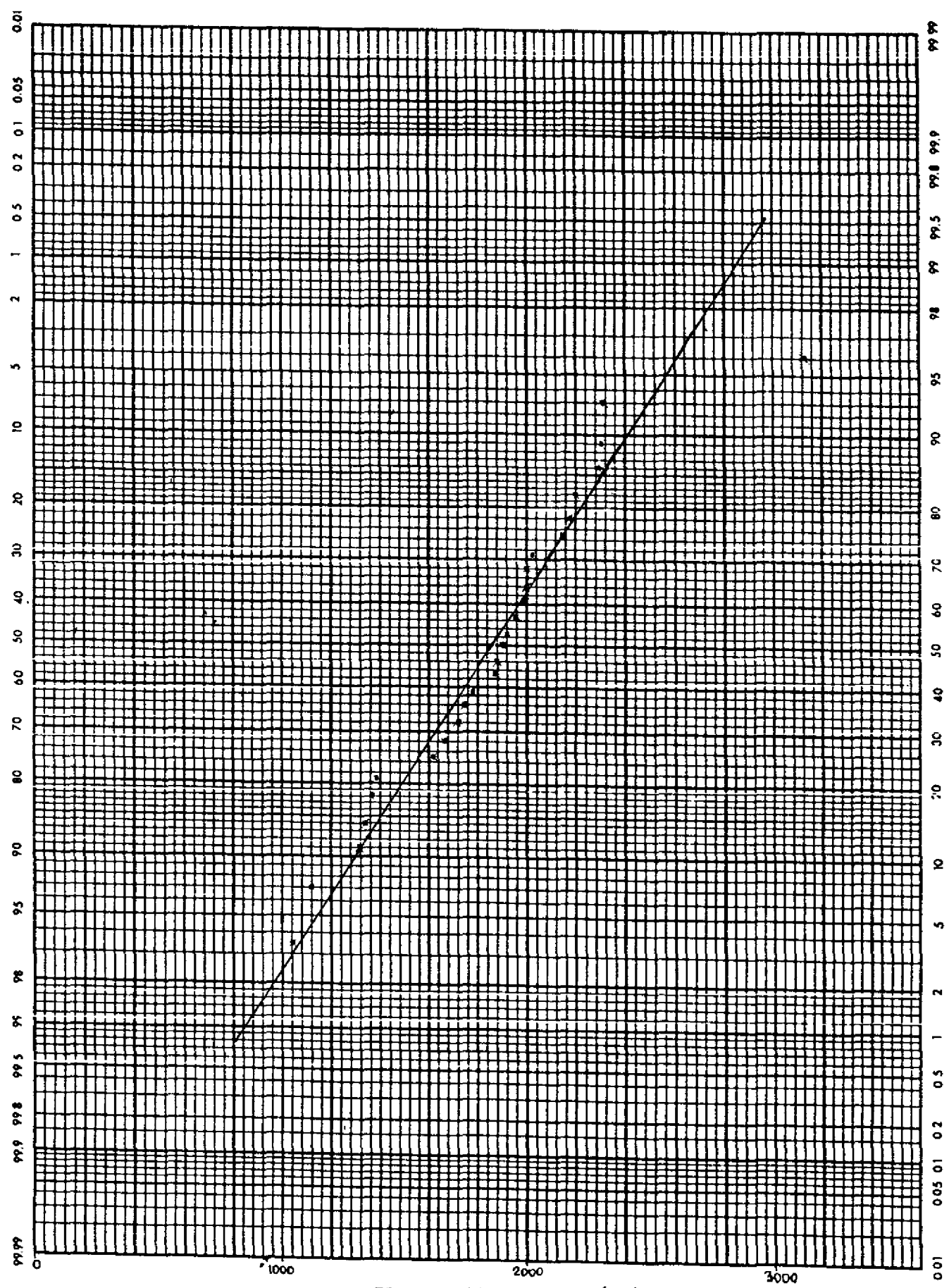


FIG. No. 14. Probabilidad de precipitación anual de la Estación Liberia, Llano Grande
 Lat. 10° 37' N. Long. 85° 26'W. Alt. 85 m.

PROBABILIDAD DE VALORES SUPERIORES AL VALOR DE LA ABCISA (PORCENTAJE)



PROBABILIDAD DE VALORES INFERIORES AL VALOR DE LA ABCISA (PORCENTAJE)

FIG. No. 15. Probabilidad de precipitación anual de la Estación Santa Cruz
 Lat. 10° 16'N. Long. 85° 35'W. Alt. 54 m.

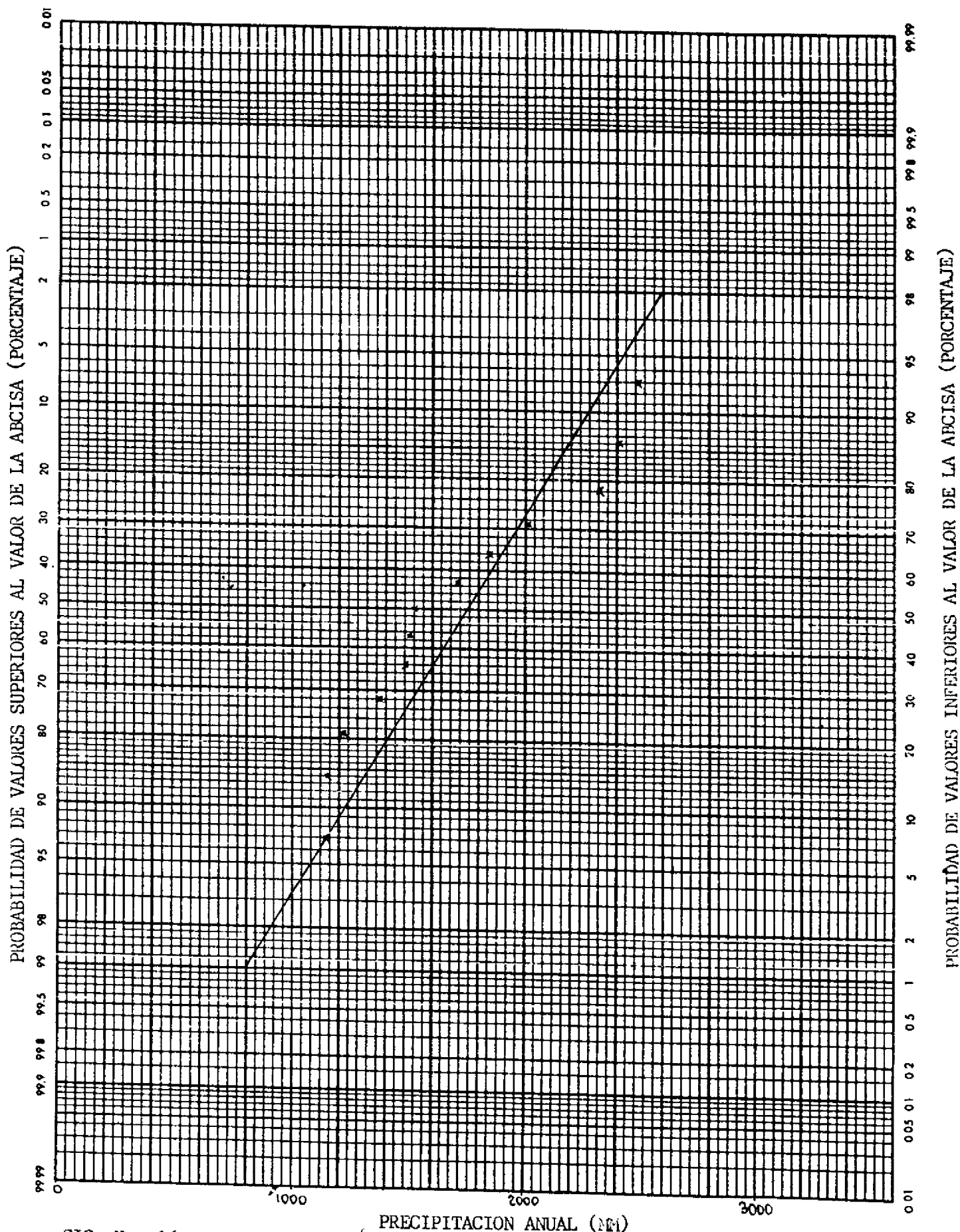


FIG. No. 16. Probabilidad de precipitación anual de la Estación Hacienda Tempisque.
 Lat. 10° 30'N. Long. 85° 34'W. Alt. 22 m.

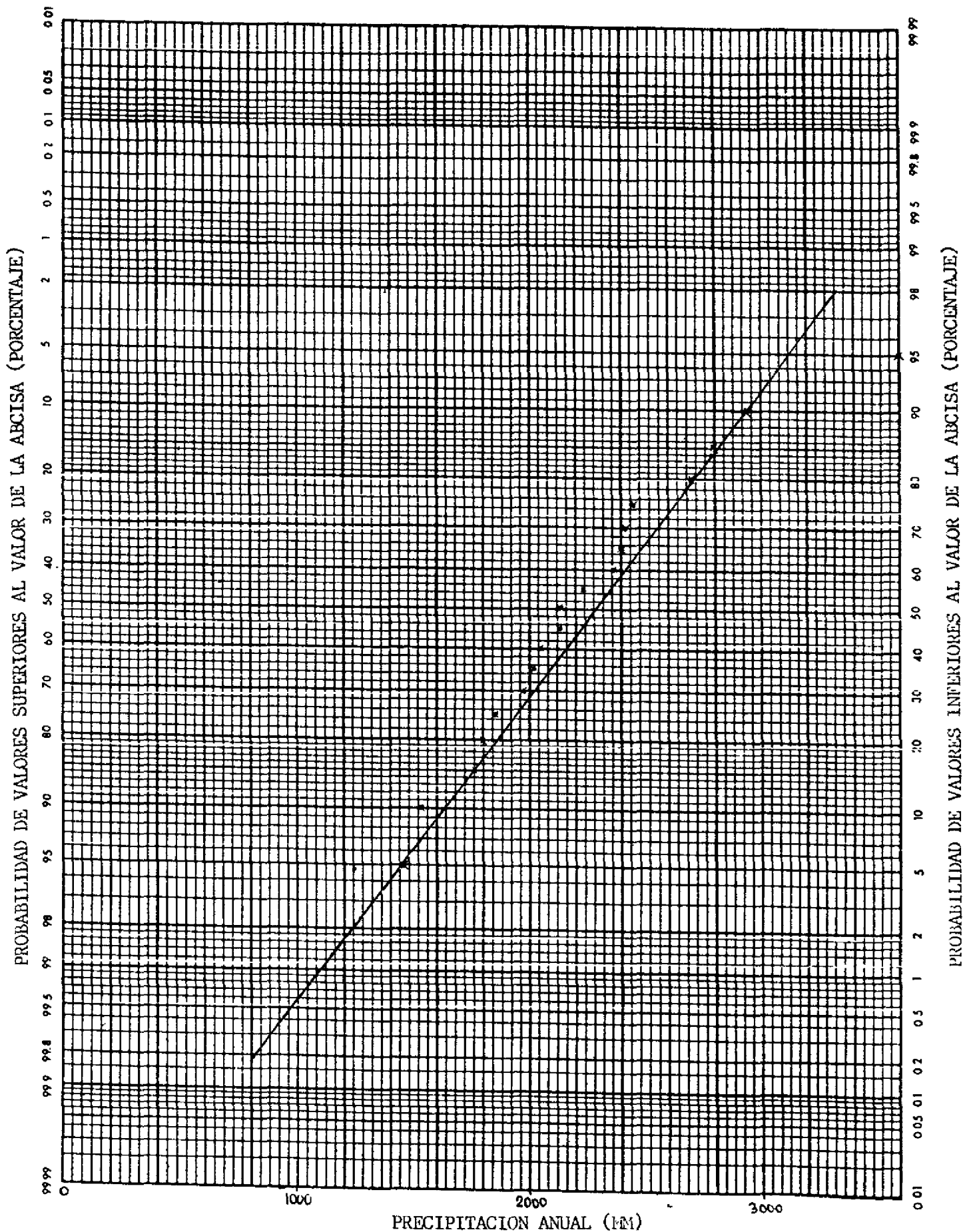


FIG. No. 17. Probabilidad de precipitación anual de la Estación Las Juntas, Abangare
 Lat. 10° 17'N. Long. 84° 58'W. Alt. 140 m.